

III-35 水路分岐点付近における遷限界流について (次二報)

大阪大学工学部 正員 室田 明

オ一報(オ3回水理研究会講演会前刷, 1958)に
おいて、水路分岐点付近に現れる trans-critical flow
は現象的に薄翼形翼における遷音速流(transonic flow)
と酷似してあるため、表題の解析には、Karman によつて導かれた transonic の基礎方程式、すなはち

$$\frac{2}{8^*} u' \frac{\partial^2 u'}{\partial x^2} - \frac{\partial^2 u'}{\partial y^2} = 0 \quad (1)$$

なる混合 TORICOMI 型方程式によつて説明される等で
あることを示唆した。

(たゞし、式(1)において、

$$U = f_* + u', \quad f_*: \text{Froude 数 } 1 \text{ の場合の臨界流速。}$$

ところに、以後の研究によつて、分岐水路の場合
に直ちに(1)式を適用することは次の理由によつて
適當ではないことが判つた。すなはち、

1. transonic flow では翼面に沿う流速の加速の
様相が翼形状のみによつて規定される。ところが
分岐水路の場合は、Fig-2 の壁面 C-A₀₀ に沿つて、C に向う流速の増加は、流量配分比 K
との複雑な関係でさえられ、薄翼翼と全くその性格を異にする。

2. transonic の場合は一般に shock wave を迎遇してエネルギーの損失はないものとさ
へども、分岐点遷限界領域の下流限界線を定める曲面船水では、jump による energy loss を
無視することが出来ない。よつて、A₀₀-A'₀₀ における source と、E₀₀-E'₀₀ 及び B₀₀-B'₀₀ における
sink との間にエネルギーの逃散を含む系となつて厳密には上記の様な potential 的取扱いが
出来ない。

3. 混合 TORICOMI 型偏微分方程式では、上流、下流の境界条件以外に、遷限界領域での
条件をも与える必要がある。COLE は薄翼翼の transonic の解で、この局部的超音速域及
上流に与える効果は小さいものとして、超音速域の拡張と無視して解を取めているが、
我々の研究目的、すなはち、射流域の発生とその変遷過程を解明するためには、このよう
な近似は許されない。

ほゞ以上の理由によつて、(1)式を直ちに適用することをやめ、分岐開口部上流端 (Fig-2
の点 C) 付近の二次元流況を逐次近似により求め試みを行ひ、支配曲線 (Control-curve,
すなはち局所 Froude 数が 1.0 の曲線) の形状等を求めると共に、主として射流域の発生限
界を定めようとするものである。

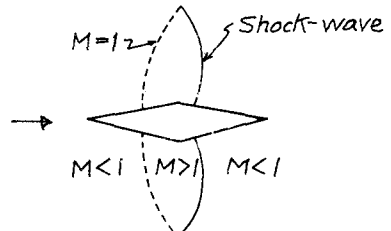


Fig-1
薄翼形翼における遷音速流

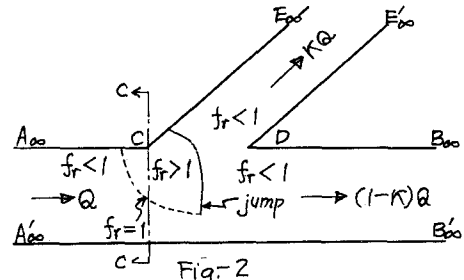


Fig-2
水路分岐点付近の遷限界流

○ 射流域発生の臨界 Froude 数： Fig.-2 の奥 C 附近に射流域が発生し始めたときの、 C-C 断面での平均 Froude 数（之を臨界 Froude 数とよぶ。）： $F_*^2 = U_c^2/gH_c$ を求めよ。

たゞし、 U_c 、 H_c は C-C 断面での断面平均値と 1/2 の流速、水深を表す。一般の場合、之等は一次元背水曲線の計算によつて直ちに求められる。又、断面右奥での局所値は、小文字、断面平均値は大文字を用いるものとする。

筆者の計算によれば奥 C での流速： U_c は次式で与えられる。

$$\bar{U}_c = 1 - \frac{K}{2} + \frac{K}{2\pi\delta}, \quad \text{たゞし, } \bar{U}_c = U_c/\pi\delta, \quad K: \text{流量配分比}, \quad \gamma = n\delta_0/2\pi \\ n = \text{開口比}/\text{主水路比}, \quad \delta_0: \text{縮流係数}$$

更に、水路横断方向では specific-energy が保存されるものとすれば、C における水深： h_c が次の如く定まる。

$$\bar{h}_c = 1 - \frac{F_*^2}{2} \left\{ \left(1 - \frac{K}{2} + \frac{K}{2\pi\delta} \right)^2 - 1 \right\}, \quad \text{たゞし, } \bar{h}_c = \frac{h_c}{H_c}, \quad F_*^2 = U_c^2/gH_c.$$

奥 C における局所 Froude 数： $f_{r.c} = U_c^2/gh_c = 1$ の条件より臨界 Froude 数： F_*^2 を求めれば次の如くである。

$$F_*^2 = 2/3 \left(1 - \frac{K}{2} + \frac{K}{2\pi\delta} \right)^2 - 1$$

F_*^2 を種々の開口比： n について計算すれば Fig.-3 の如くであり、我々の実験水路 ($n=0.877$, $\delta_0=0.518$) についての実験値は Fig.-4 の如くである。

○ C-C 断面の横断水面形状： 射流域不発生するときと对比して、Fig.-2 の奥 C の近傍では非常に大きな水面勾配が観測される。実測例の代表的ものを Fig.-5, Fig.-6 に示し、計算値との比較を行なう。又、C 附近の流況の二次元解析法については講演の際、報告する。

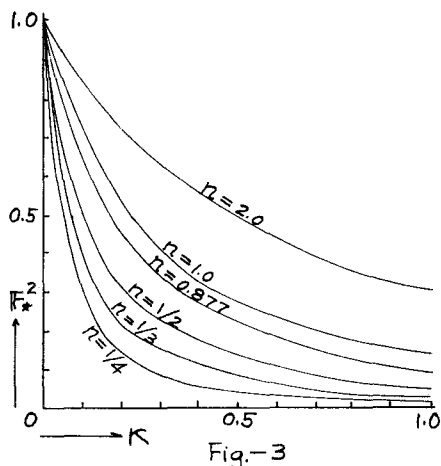
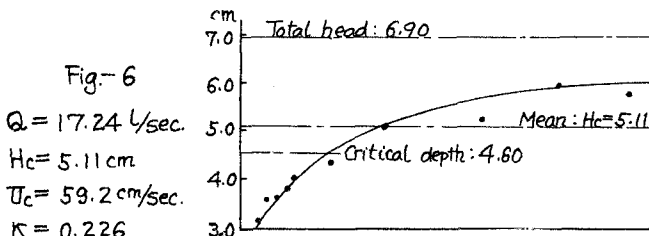
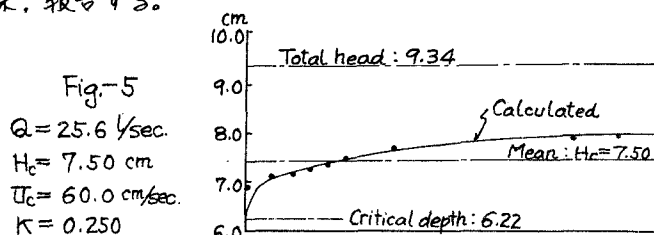


Fig.-3

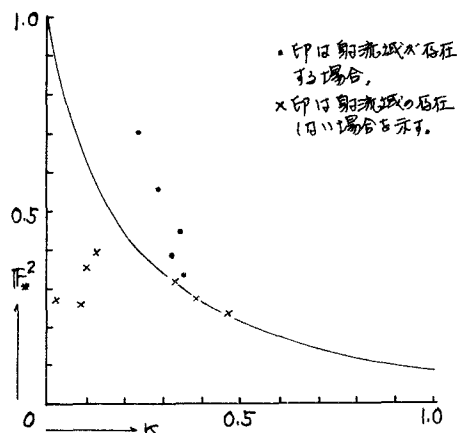


Fig.-4